

УДК 539.3

© 1998 г. Д. А. ПОЖАРСКИЙ, М. И. ЧЕБАКОВ

## ОБ ОСОБЕННОСТИХ КОНТАКТНЫХ НАПРЯЖЕНИЙ В ЗАДАЧЕ О КЛИНОВИДНОМ ШТАМПЕ НА УПРУГОМ КОНУСЕ

Исследуется показатель особенности контактных напряжений в новой особой точке, являющейся пересечением вершины клиновидного штампа с вершиной упругого конуса. Трение в области контакта предполагается отсутствующим. В случае малых углов раствора штампа применяется асимптотический метод [1, 2], а для не слишком малых углов – численный метод выделения особенностей [3]. Показана возможность возникновения особенности, связанной с двукратностью корня характеристического уравнения, что для малых углов штампа может приводить к выходу действительных корней в комплексную область. Изучена зависимость частоты осцилляции контактных напряжений под штампом малого угла раствора в зависимости от угла упругого конуса.

Точное решение интегрального уравнения о давлении клиновидного штампа на упругое полупространство (частный случай конуса) получено в [4]. Однако из него затруднительно выделить особенности контактных давлений в вершине штампа.

**1. Рассмотрим уравнения равновесия Ламе в сферической системе координат и применим метод разложения векторных функций по полной системе векторных гармоник на поверхности конуса при помощи интегрального преобразования Меллина и ряда Фурье [5]. В результате интегральное уравнение пространственной контактной задачи о вдавливании без трения клиновидного штампа угла раствора  $2\beta$  ( $\beta < \pi$ ) в упругий конус угла  $2\alpha$  (вершины штампа и конуса совпадают) получим в виде ( $\theta = G/(1-v)$ ,  $G$  – модуль сдвига,  $v$  – коэффициент Пуассона):**

$$\frac{\theta^{-1}}{4\pi^2} \int_{-\beta}^{\beta} d\psi \int_0^{\infty} q(x, \psi) dx \int_{\Gamma}^{\infty} \sum_{k=-\infty}^{\infty} L_k(s, \alpha) e^{ik(\phi-\psi)} \left(\frac{x}{r}\right)^{s+\frac{1}{2}} ds = f(r, \phi) \quad (1.1)$$

$(0 \leq r < \infty, \quad \phi \in (-\beta, \beta))$

где  $q(x, \psi)$  – неизвестные нормальные контактные напряжения под штампами;  $f(r, \phi)$  – функция, определяемая формой основания штампов;  $\Gamma$  – прямая, параллельная мнимой оси в плоскости комплексного переменного  $s$  и лежащая в полосе  $|Re s| < 0.5$ ; символ ядра  $L_k(s, \alpha)$  определяется формулами (контур  $\Gamma$  совпадает с мнимой осью):

$$L_k(s, \alpha) = \frac{f_0 + f_1 p + f_2 p^2 + f_3 p^3}{g_0 + g_1 p + g_2 p^2 + g_3 p^3}, \quad p = \frac{P_{s-0.5}^k(\cos \alpha)}{P_{s-0.5}^{k-1}(\cos \alpha)} \quad (1.2)$$

$$f_m = f_m(s, \alpha), \quad g_m = g_m(s, \alpha) \quad (m = 0, 1, 2, 3)$$

$$\begin{aligned}
f_0 &= \cos^2 \alpha \operatorname{ctg} \alpha (s^2 - (k - 0.5)^2)^2 \\
f_1 &= -(s^2 - (k - 0.5)^2) \left[ \cos^2 \alpha \left( \frac{s^2 - 0.25}{2} - 1 - 3k \operatorname{ctg}^2 \alpha \right) + \frac{k^2 \operatorname{ctg}^2 \alpha}{4(1-v)} \right] \\
f_2 &= 0.5 \sin 2\alpha [-(s^2 - 0.25)(1.5 + k \operatorname{ctg}^2 \alpha) + 3k^2 - 2k] + \\
&\quad + (2k - 2.5k^2) \operatorname{ctg} \alpha + 2k^2 \operatorname{ctg}^3 \alpha - \frac{k^2 \operatorname{ctg}^2 \alpha}{4(1-v)} (1 + 2k \operatorname{ctg}^2 \alpha) \\
f_3 &= \frac{\sin^2 \alpha}{2} (s^2 - 0.25) - \frac{k^2}{2} (1 + \operatorname{ctg}^2 \alpha) - k \left( \frac{1}{2} + \cos^2 \alpha \right) - \frac{k^2 \operatorname{ctg}^2 \alpha}{4(1-v)}
\end{aligned} \tag{1.3}$$

$$\begin{aligned}
g_0 &= \operatorname{ctg}^2 \alpha (s^2 - (k - 0.5)^2)^2 [2(1-v)(k^2 - 1) + (s^2 - 0.25) \sin^2 \alpha] \\
g_1 &= -(s^2 - (k - 0.5)^2) \{ 0.25 \sin 2\alpha (s^2 - 0.25)^2 + \\
&\quad + (s^2 - 0.25)[0.5(3k - 1) \sin 2\alpha - (1 - v + k^2 + 3k) \operatorname{ctg} \alpha] + \\
&\quad + 0.5k^2(k^2 - 1) \operatorname{ctg} \alpha (1 + \operatorname{ctg}^2 \alpha) - 6(1 - v)k(k^2 - 1) \operatorname{ctg}^3 \alpha \} \\
g_2 &= -0.5(s^2 - 0.25)^2 [1 + (2k - 3) \cos^2 \alpha] - (s^2 - 0.25)[(3k - 2)k \cos^2 \alpha - \\
&\quad - k^2 - 2(k^2 + k)(k + 1 - v) \operatorname{ctg}^2 \alpha] - k^2(k^2 - 1)[0.5 + \\
&\quad + (k + 0.5 + 2(1 - v)) \operatorname{ctg}^2 \alpha + (k - 4(1 - v)) \operatorname{ctg}^4 \alpha] \\
g_3 &= -0.25 \sin 2\alpha [(s^2 - 0.25)^2 - 2(s^2 - 0.25)(k^2 + (k + k^2) \operatorname{ctg}^2 \alpha)] + \\
&\quad + 2k^2(1 + k)(1 - v) \operatorname{ctg}^3 \alpha - 0.5k^2(k^2 - 1) \operatorname{ctg} \alpha (1 + \operatorname{ctg}^2 \alpha)
\end{aligned}$$

Здесь  $P_s^k(\cos \alpha)$  – присоединенные функции Лежандра [6]. Самым эффективным способом убедиться в правильности вывода формул (1.2), (1.3) является проверка тождеств  $L_{-k}(s, \alpha) \equiv L_k(s, \alpha)$  ( $k = 1, 2, \dots$ ). При  $k = 0$  из формул (1.2), (1.3) получаем известный символ ядра интегрального уравнения осесимметричной контактной задачи для конуса [7]:

$$L_0(s, \alpha) = \frac{-s_1(P)^2 - \operatorname{ctg} \alpha P P^1 + \operatorname{ctg}^2 \alpha (P^1)^2}{s_1^2 \operatorname{ctg} \alpha (P)^2 - s_1 P P^1 + \operatorname{ctg} \alpha (s_1 - 2(1 - v) \sin^2 \alpha) (P^1)^2} \tag{1.4}$$

$$s_1 = s^2 - 0.25, \quad P = P_{s-0.5}(\cos \alpha), \quad P^1 = P_{s-0.5}^1(\cos \alpha)$$

При  $\alpha = \pi/2$ , когда конус разворачивается в полупространство, из (1.2), (1.3) с учетом соотношения между  $P_s^k(0)$  и Г-функцией [6] вытекает известная формула [3]:

$$L_k\left(s, \frac{\pi}{2}\right) = \frac{\Gamma(s/2 + |k|/2 + 0.25) \Gamma(-s/2 + |k|/2 + 0.25)}{2\Gamma(s/2 + |k|/2 + 0.75) \Gamma(-s/2 + |k|/2 + 0.75)} \tag{1.5}$$

Важно выяснить асимптотику функции  $L_k(s, \alpha)$  при  $k \rightarrow \infty$  ( $k \in \mathbf{Z}$ ). Для этого воспользуемся асимптотическим разложением при  $k \rightarrow \infty$  ( $k \in \mathbf{Z}$ ) для функции Лежандра [8, с. 158] вида

$$P_s^k(\cos \alpha) = -\frac{\Gamma(s+k+1)\Gamma(k-s)}{\pi\Gamma(k+1)} \sin(\pi s) \operatorname{tg} \frac{k\alpha}{2} F\left(-s, s+1; 1+k; \sin^2 \frac{\alpha}{2}\right)$$

где  $F$  — гипергеометрическая функция. Отсюда получим, что при  $k \rightarrow \infty$  ( $k \in \mathbf{Z}$ ):

$$P_{s-0.5}^k / P_{s-0.5}^{k-1} = p = (k-1) \operatorname{tg} \frac{1}{2} \alpha + O(1/k) \quad (1.6)$$

Внося (1.6) в (1.2), (1.3), после всех преобразований окончательно найдем, что

$$L_k(s, \alpha) = \sin \alpha / k + O(1/k^2), \quad k \rightarrow \infty \quad (k \in \mathbf{Z}) \quad (1.7)$$

Как доказано в [3, с. 123], показатель особенности функции контактных давлений  $q(x, \psi)$  при  $x \rightarrow 0$  связан с точками спектра интегрального оператора, возникающими в левой части уравнения (1.1) после применения к этому уравнению интегрального преобразования Меллина по  $r$ . При этом точки спектра не зависят от  $\Phi$ .

2. Используя прямое и обратное преобразование Меллина

$$\begin{aligned} \int_0^\infty q(x, \psi) x^{s+\frac{1}{2}} dx &= q_s^*(\psi), \quad q(x, \psi) = \frac{1}{2\pi i} \int_{\Gamma} q_s^*(\psi) x^{-s-\frac{3}{2}} ds \\ \int_0^\infty f(r, \phi) r^{s-\frac{1}{2}} dr &= f_s^*(\phi), \quad f(r, \phi) = \frac{1}{2\pi i} \int_{\Gamma} f_s^*(\phi) r^{-s-\frac{1}{2}} ds \end{aligned} \quad (2.1)$$

а также четность функций  $L_k(s, \alpha)$  по индексу, сведем двумерное уравнение (1.1) к одномерному уравнению, которое в новых обозначениях

$$q_s(\xi) = \frac{q_s^*(\psi)}{\theta}, \quad f_s(x) = \frac{f_s^*(\phi)}{\beta}, \quad x = \frac{\psi}{\beta}, \quad \xi = \frac{\phi}{\beta}, \quad \lambda = \frac{1}{\beta} \quad (2.2)$$

примет вид

$$\int_{-1}^1 q_s(\xi) K_s\left(\frac{\xi-x}{\lambda}\right) d\xi = \pi f_s(x), \quad |x| \leq 1 \quad (2.3)$$

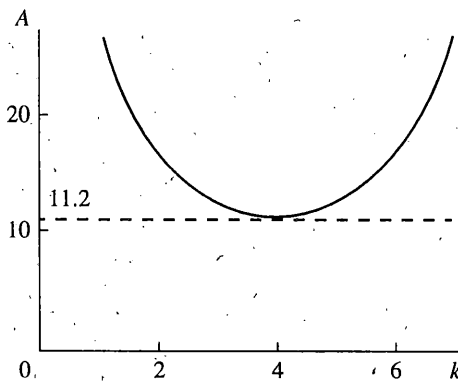
$$K_s(t) = \frac{1}{2} L_0(s, \alpha) + \sum_{k=1}^{\infty} L_k(s, \alpha) \cos kt$$

Следуя работам [1, 2], можно построить асимптотическое решение уравнения (2.3) при  $\lambda \rightarrow \infty$  (малые углы штампа). Учитывая асимптотику функции  $L_k(s, \alpha)$  вида (1.7), ядро интегрального уравнения (2.3) можно представить в форме

$$\begin{aligned} K_s(t) &= \ln|t| l_1(t) + |t| l_2(t) + l_3(t) \\ l_n(t) &= \sum_{m=0}^M d_{nm} t^{2m} + O(t^{2M+2}), \quad d_{10} = -\sin \alpha \end{aligned} \quad (2.4)$$

Если радиус сходимости этих рядов равен  $\rho(\alpha)$ , то при  $\lambda > 2\rho^{-1}(\alpha)$  для решения уравнения (2.3), (2.4) применим асимптотический метод “больших  $\lambda$ ”. Пусть  $f(r, \phi) = f^\mu e^{-\epsilon r}$ , ( $\mu \geq \delta - 1$ ,  $\delta > 0$ ,  $\mu > 0$ ); при  $\mu = 0$ ,  $\epsilon \rightarrow 0$  такой штамп вырождается в плоский.

Тогда  $f_s^*(\phi) = f_\epsilon^{-\left(s+\frac{1}{2}+\mu\right)} \Gamma(s+0.5+\mu)$ ;  $\operatorname{Re} s > -0.5 - \mu$ . Пусть теперь  $\beta$  настолько мало,



Фиг. 1

что можно пренебречь членами порядка  $\lambda^{-1}$  и выше. Тогда решение задачи будет (ср. с [1, 2]):

$$q(x, \psi) = \frac{r \varepsilon^{-\mu+1}}{2\pi i \sqrt{\beta^2 - \psi^2}} \int_{\Gamma} \frac{(x\varepsilon)^{-\frac{3}{2}} \Gamma(s + 0.5 + \mu)}{g(s)} ds \quad (2.5)$$

$$\begin{aligned} g(s) = & \sin \alpha [\ln(4\lambda) - C - 0.5\psi(0.5+s) - 0.5\psi(0.5-s)] + \\ & + \frac{1}{2} \left[ L_0(s, \alpha) - \sin \alpha L_0\left(s, \frac{\pi}{2}\right) \right] + \sum_{k=1}^{\infty} \left[ L_k(s, \alpha) - \sin \alpha L_k\left(s, \frac{\pi}{2}\right) \right] \end{aligned} \quad (2.6)$$

где  $C$  – постоянная Эйлера,  $\psi(x)$  – пси-функция.

Характер распределения нулей функции  $g(s)$  вида (2.6) при  $\lambda \rightarrow \infty$  в полосе  $|Res| \leq 3/2$  такой же, как и у соответствующих ей функций из [1, 2]. Именно,

$$\lim_{s \rightarrow 1/2} \left( s - \frac{1}{2} \right) g(s) = \lim_{s \rightarrow 1/2} \left( s - \frac{1}{2} \right) \frac{1}{2} L_0(s, \alpha) = V(\alpha) = \frac{-\sin \alpha \cos^2(\alpha/2)}{1 + 2v \cos \alpha + \cos^2 \alpha} \quad (2.7)$$

При выводе соотношений (2.7) использовано, что [6]:  $\lim P_s^1(\cos \alpha)/s = -\operatorname{tg}(\alpha/2)$  ( $s \rightarrow 0$ ). Очевидно, что функция  $V(\alpha) < 0$  при  $0 < v \leq 1/2$ ,  $0 < \alpha < \pi$ , следовательно,  $g(0.5 \pm 0) = \mp \infty$ . Можно убедиться, что  $g(i\infty) = -\infty$ . Кроме того, при достаточно больших  $\lambda$   $g(0) > 0$  и  $g(1.5 - 0) > 0$ . Таким образом, при фиксированном угле  $\alpha$  и  $\lambda \rightarrow \infty$  функция  $g(s)$  имеет в полосе  $|Res| \leq 3/2$  по два однократных нуля на мнимой и действительной осях вида  $s_{1,2} = \pm iA$ ,  $A = A(\alpha, \lambda) = O(\lambda)$  ( $\lambda \rightarrow \infty$ ),  $s_{3,4} = \pm(0.5 + B)$ ,  $B = B(\alpha, \lambda) \in (0; 1)$ . При помощи теоремы Руше можно показать, что такая картина распределения нулей не изменится, если в методе “больших  $\lambda$ ” удерживать большее число слагаемых в разложении искомых контактных давлений. Итак, независимо от формы основания штампа в разложении функции  $q(x, \psi)$  при  $x \rightarrow 0$ ,  $\lambda \rightarrow \infty$  будут

присутствовать члены порядка  $x^{-iA - \frac{3}{2}}$  (осцилляций) и  $x^{B-1}$ .

Исследуем влияние степени конусности упругого тела на найденные выше показатели  $A$  и  $B$  при фиксированном достаточно малом  $\beta$ . На фиг. приведена зависимость частоты осцилляции штампа  $A$  в зависимости от угла  $\alpha = \pi k/8$  ( $\beta = 0.2$ ,  $v = 0.3$ ); штриховая линия соответствует такой же задаче для пространственного упругого клина угла раствора  $\alpha$  [2]. Если частота осцилляций клиновидного штампа на упругом кли-

не мало зависит от угла раствора последнего, то для упругого конуса частота имеет минимум при  $\alpha = \pi/2$  (полупространство), причем при  $\alpha = \pi - \pi k/8$  и  $\alpha = \pi - \pi k/8$ ,  $k = 1, 2, 3$  различие соответствующих значений  $A$  не превышает 3%.

Расчеты показывают, что при фиксированном малом угле  $\beta$  и уменьшении угла  $\alpha$  в полосу  $|Re s| \leq 3/2$  извне проникают два действительных корня уравнения  $g(s) = 0$ , которые затем соединяются с корнями  $\pm(0.5 + B)$  и уходят с действительной оси в комплексную плоскость, т.е. при малых углах раствора конуса возникают дополнительные осцилляции (действительных корней при этом вообще нет). При этом двукратному действительному корню отвечает особенность порядка  $x^{B-1}(c_1 + c_2 \ln x)$  [3]. Ниже описанный процесс иллюстрируется численными значениями корней  $s = \pm 0.5 \pm 0.01n$  при  $\beta = \lambda^{-1} = 0.05$ ,  $v = 0.3$  в зависимости от угла  $\alpha = \pi t/8$ :

$t$	6	4	2	1.75	1.712	1.71	1
$n$	7	12	36	66 и 98	82 и 86	-	-

Заметим, что при вычислении значений присоединенных функций Лежандра  $P_s^k(\cos \alpha)$  нельзя использовать рекуррентные формулы по верхнему индексу  $k$  [6], так как они дают значительное накопление погрешности при  $k \rightarrow \infty$ , особенно, при острых углах  $\alpha$ . Здесь для вычисления значений  $P_s^k(\cos \alpha)$  использовались формулы [6]:

$$P_{s=0.5}^k(x) = (-1)^{k\Gamma(s+0.5+k)(1-x^2)^{k/2}} \frac{\Gamma(s+0.5+k)(1-x^2)^{k/2}}{\Gamma(s+0.5-k)2^k k!} F\left(k + \frac{1}{2} - s, k + \frac{1}{2} + s; k + 1; \frac{1-x}{2}\right)$$

$$\frac{\Gamma(s+0.5+k)}{\Gamma(s+0.5-k)} = \left[s^2 \left(\frac{1}{2}\right)^2\right] \left[s^2 - \left(\frac{3}{2}\right)^2\right] \dots \left[s^2 - \left(k - \frac{1}{2}\right)^2\right]$$

3. При не слишком малых углах  $2\beta$  раствора штампа для анализа асимптотики функций контактных давлений в вершине клина эффективен метод, развитый в [3]. Можно доказать (см. формулу (13.7) при  $\varepsilon = 0$  из [3]), что, если при  $s = s_*$  детерминант  $d(s)$  бесконечномерной матрицы с элементами  $(m, n = 0, 1, \dots)$

$$a_{mn}(s) = \sum_{k=0}^{\infty} L_k(s, \alpha) J_m(\beta k) J_n(\beta k) \cos \pi \frac{m-n}{2} \quad (3.1)$$

обращается в нуль, то  $q(x, \psi) \sim x^{-\gamma}$ ,  $\gamma = 1.5 + s_*$  при  $x \rightarrow 0$ . Здесь  $J_n(x)$  – функция Бесселя; штрих у знака суммы означает, что первый член ( $k = 0$ ) ряда в (3.1) берется с коэффициентом 0.5. При  $\beta > 0.1\pi$  достаточно урезать матрицу с элементами (3.1) до размерности 6, чтобы обеспечить три верные значения цифры для нулей ее детерминанта [3]. Заметим, что поскольку четное число перестановок строк (столбцов) матрицы не меняет величину ее определителя, а нулевые элементы матрицы (3.1) расположены в шашечном порядке, детерминант  $d(s)$  разлагается в произведение  $d(s) = d^+(s)d^-(s)$ , где  $d^\pm(s)$  – детерминанты матриц с элементами ( $m, n = 0, 1, \dots$ ):

$$a_{mn}^+(s) = a_{2m, 2n}(s), \quad a_{mn}^-(s) = a_{2m+1, 2n+1}(s) \quad (3.2)$$

В таблице даны значения наибольшего показателя особенности  $\gamma$ , соответствующего вещественным нулям  $d(s)$ ,  $s \in (-1.5; -0.5)$  в зависимости от углов  $\alpha = \pi m/8$  и  $\beta = \pi n/8$  при  $v = 0.3$ . Везде в таблице главными, т.е. ближайшими к точке  $s = -0.5$  являются корни уравнения  $d^\pm(s) = 0$ . При  $m = 4$  (полупространство) табличные значения хорошо соответствуют кривой при  $\varepsilon = 0$ , изображенной на рис. 4.2 в [3]. По теореме о неявных функциях зависимость  $s_*(\alpha, \beta)$  – корней уравнения  $d(s) = 0$  от  $\alpha$  и  $\beta$  аналитическая. Следовательно, при непрерывном изменении  $\alpha$  и  $\beta$  эти корни вычерчиваются в плоскости  $s$  непрерывные кривые. При  $s = -0.5$  функция  $d(s)$  имеет многократный полюс, т.к. он однократен для каждого элемента (3.1). Этот полюс может поглощаться

Таблица

<i>m</i>	<i>n = 1</i>	2	3	4	5	6	7
1	0.999	0.989	0.938	0.798	0.551	0.266	0.065
2	0.999	0.991	0.951	0.848	0.665	0.463	0.375
3	0.999	0.999	0.996	0.989	0.980	0.971	0.965
4	0.788	0.703	0.611	0.500	0.357	0.184	0.043
5	0.999	0.998	0.994	0.983	0.966	0.945	0.930
6	0.999	0.998	0.992	0.976	0.944	0.899	0.860
7	0.999	0.999	0.997	0.989	0.973	0.950	0.936

и выпускать нули функции  $d(s)$  при непрерывном изменении углов  $\alpha$  и  $\beta$ . При небольшом отклонении угла конуса  $2\alpha$  от  $\pi$  (от полупространства) в ту или другую сторону и фиксированном  $\beta$  из полюса  $s = -0.5$  появляется новый нуль функции  $d(s)$ , дающий более сильную особенность функции  $q(x, \psi)$  при  $x \rightarrow 0$ , чем тот корень уравнения  $d(s) = 0$  в интервале  $s \in (-1.5; -0.5)$ , который был единственным при  $2\alpha = \pi$ . При дальнейшем плавном изменении  $\alpha$  этот нуль меняется непрерывно, давая значения показателя особенности  $\gamma$ , приведенные в таблице.

Для углов  $\beta$ , близких к  $\pi$ , и значений  $\alpha = \pi m/8$ ,  $m = 2, 3, 5, 6$  появляется двукратный корень уравнения  $d(s) = 0$  за счет одновременного обращения в нуль функций  $d^t(s)$  и  $d^s(s)$ , например, при  $\beta = 7.3\pi/8$ ,  $\alpha = 3\pi/8$ ,  $v = 0.3$  показатель  $\gamma = 0.963$ . Возникающая при этом особенность вида  $x^{-\gamma}(c_1 + c_2 \ln x)$  может приводить к смене знака функции контактных давлений при  $x \rightarrow 0$ , т.е. к отрыву кончика штампа.

Расчеты показывают, что при  $s \in (-0.5; 0]$ , а также при чисто мнимых  $sd(s) \neq 0$ , т.е. при данном численном методе решения задачи не удается найти корня, приводящего

к особенности порядка  $x^{-\frac{3}{2}}$ ,  $A \in \mathbb{R}$ . По-видимому, это связано с отказом в методе [3] от интегральных условий типа (1.2) из [1] или (1.4) [2], налагаемых на функции  $q(x, \psi)$ ,  $f(r, \phi)$ , т.е. соответствующий комплексный корень существует в аналитическом решении при малых  $\beta$  только в предположении, что форма клиновидного штампа при  $r \rightarrow \infty$  сходит на нуль, обеспечивая конечность интеграла от функции  $q(x, \psi)$  по области контакта.

Работа выполнена при финансовой поддержке Российского фонда фундаментальных исследований (проект № 96-01-00361).

#### СПИСОК ЛИТЕРАТУРЫ

1. Александров В.М., Бабешко В.А. О давлении на упругое полупространство штампа клиновидной формы в плане // ПММ. 1972. Т. 36. Вып. 1. С. 88–93.
2. Александров В.М., Пожарский Д.А. О контактных напряжениях в вершине клиновидного штампа, выходящей на ребро упругого пространственного клина // ПММ. 1994. Т. 58. Вып. 1. С. 135–141.
3. Бабешко В.А., Глушков Е.В., Зинченко Ж.Ф. Динамика неоднородных линейно-упругих сред. М.: Наука, 1989. 343 с.
4. Васильев В.Б. Интегральное уравнение одной задачи о вдавливании клиновидного штампа // ПММ. 1995. Т. 59. Вып. 2. С. 272–279.
5. Гринченко В.Т., Улитко А.Ф. Равновесие упругих тел канонической формы. Киев: Наук. думка, 1985. 280 с.
6. Градиштейн И.С., Рыжик И.М. Таблицы интегралов, сумм, рядов и произведений. М.: Наука, 1971. 1108 с.
7. Александров В.М., Ромалис Б.Л. Контактные задачи в машиностроении. М.: Машиностроение, 1986. 174 с.
8. Справочник по специальным функциям с формулами, графиками и математическими таблицами / Под ред. М. Абрамовича и И. Стиган. М.: Наука, 1979. 830 с.